19-30GSRM9501 . Barras cuarcíticas de la unidad 1 (Tremadoc).

19-30GSRM9502 . Idem. Aspecto de conjunto.

19-30GSRM9503 . Ripples de oscilación en el techo de un banco de cuarcita armoricana (Unidad 2).

19-30GSRM9504 . Aspecto de afloramiento de las calizas del Plioceno superior (Unidad 7).

19-30GSJP9505 . Carbonatos de las secuencias edáficas del Plioceno superior detrítico (Unidad 6).

19-30GSJP9506 . Idem.

19-30GSJP9507 . Idem.

19-30GSJP9508 . Margas del Plioceno superior (Unidad 7).

19-30GSRM9509 . Encostramiento sobre las lavas melilitíticas del volcán de Valdecañas.

19-30GSRM9510 . Bombas volcánicas (unidad 4).

19-30GSRM9511 . Tobas piroclásticas con infiltraciones de carbonatos edáficos (unidad 4).

19-30GSRM9512 . Pasta pulverulenta de la costra laminar bandeada (unidad 9).

19-30GSRM9513 . Aluvial del río Azuer (Unidad 15).

19-30GSRM9514. Aspecto superficial de un fondo endorreico (Unidad 20).

19-30GSRM9515. Fondo endorreico de la Laguna de La Albuera (unidad 20).

19-30GSJP9516. Secuencias de paleosuelos pliocenos en Malagón (unidad 6).

19-30GSJP9517. Idem.

19-30GSJP9518. Idem.

19-30GSJP9519. Calizas pliocenas en la cantera abandonada de la Casa de Medios Quintos (unidad 7).

19-30GSJP9520. Idem.

19-30GSJP9521. Calizas y margas calcáreas en el corte de Zua-- corta (unidad 7).

19-30GSJP9522. Idem.

19-30GSJP9523. Encostramiento sobre terraza de limos. Margen izquierda del Guadiana.

19-30GSJP9524. Valle del Guadiana cerca de los Ojos. Turbera - (Unidad 18).

19-30GSJP9525. Suelo pardo-rojizo sobre arenas eólicas (unidad 22).
































19-30 VS JP 9516

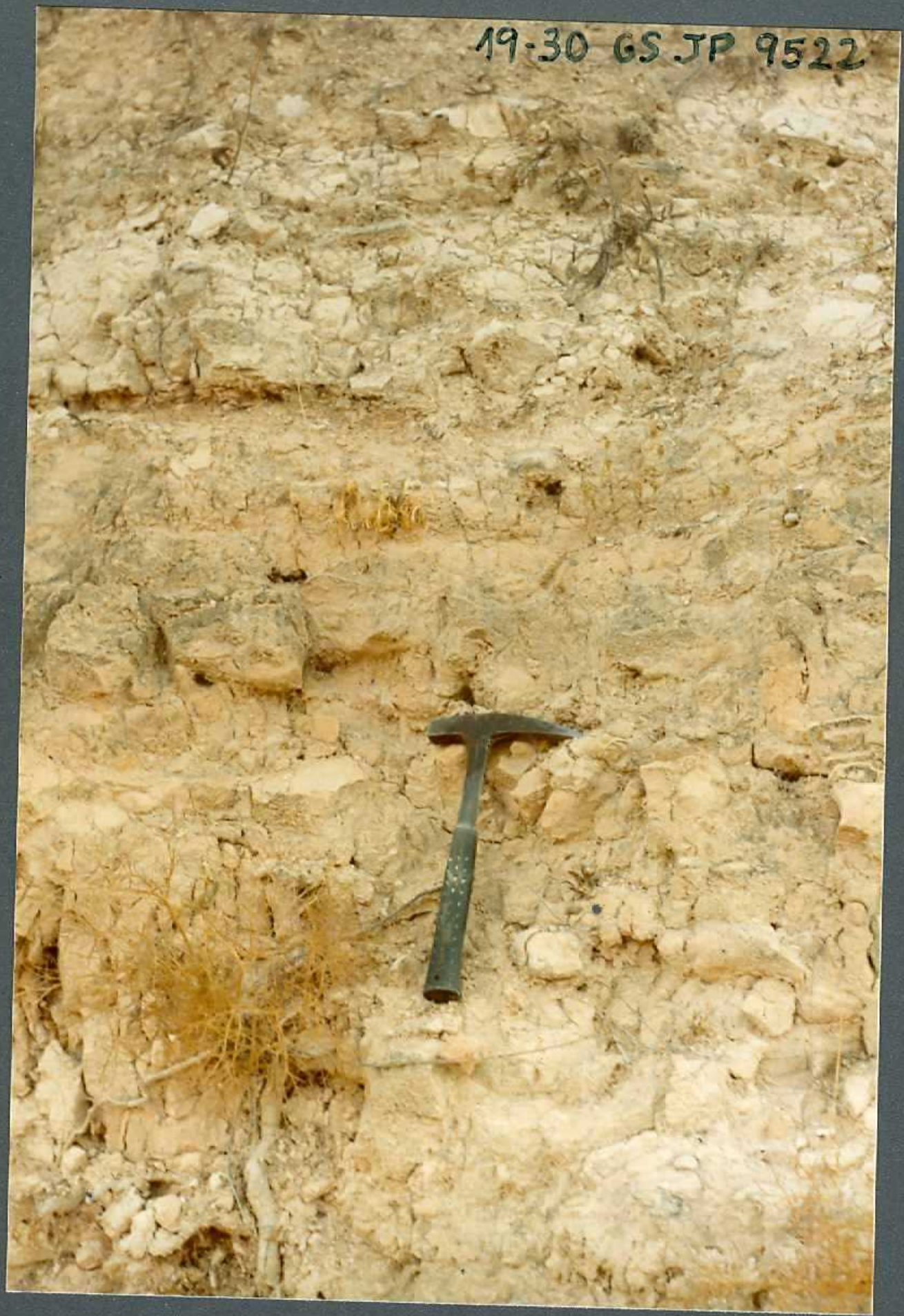

49-30 U.S. TP A5H?


19-30 GS JP 9518


19-30 GS JP 9519


19-30 65 JP 9520


19-30 GS JP 9521


19-30 GS JP 9522


19-30 GS JP 9523


19·30 GS JP 9524


19-30 GS JP 9525